

**Харьковский национальный университет радиоэлектроники**

**Кафедра прикладной математики**

**Колосова С.В., Сидоров М.В.**

**НЕКОТОРЫЕ ВОПРОСЫ, СВЯЗАННЫЕ С ПОСТРОЕНИЕМ  
ИТЕРАЦИОННЫХ МЕТОДОВ РЕШЕНИЯ  
НЕЛИНЕЙНЫХ КРАЕВЫХ ЗАДАЧ**

Сборник статей VII Международной научно-технической конференции  
молодых специалистов, аспирантов и студентов  
«Математическое и компьютерное моделирование естественно-научных  
и социальных проблем»  
(Россия, г. Пенза, ПГУ, 28 – 31 мая 2013 г.). – С. 52 – 58.

**НЕКОТОРЫЕ ВОПРОСЫ, СВЯЗАННЫЕ С ПОСТРОЕНИЕМ  
ИТЕРАЦИОННЫХ МЕТОДОВ РЕШЕНИЯ  
НЕЛИНЕЙНЫХ КРАЕВЫХ ЗАДАЧ**

Колосова С.В., Сидоров М.В.

Харьковский национальный университет радиоэлектроники, г. Харьков  
[mac\\_sim@list.ru](mailto:mac_sim@list.ru)

**1. Введение и постановка задачи.** В современной науке наблюдается большой интерес к процессам, происходящим в нелинейных средах. Математическими моделями таких процессов обычно являются нелинейные краевые задачи математической физики. В связи с этим актуальным является построение методов конструктивного решения таких задач.

Целью работы является рассмотрение некоторых подходов к построению последовательных приближений к положительному решению краевой задачи вида

$$-\Delta u = e^{-u} \quad \text{в } \Omega, \quad (1)$$

$$u|_{\partial\Omega} = 0. \quad (2)$$

Задача (1), (2) возникает, например, при математическом моделировании течения проводящей среды в цилиндре с непроницаемыми стенками [1] и математическом моделировании теплового самовоспламенения химически активной смеси газов в сосуде [7].

**2. Построение двусторонних приближений.** Известно [2], что задача (1), (2) в классе непрерывных функций эквивалентна интегральному уравнению

$$u(\mathbf{x}) = \int_{\Omega} G(\mathbf{x}, \mathbf{s}) e^{-u(\mathbf{s})} d\mathbf{s}, \quad (3)$$

где  $G(\mathbf{x}, \mathbf{s})$  – функция Грина оператора Лапласа  $-\Delta$  для первой краевой задачи в области  $\Omega$ ,  $\mathbf{x} = (x_1, \dots, x_n)$ ,  $\mathbf{s} = (s_1, \dots, s_n)$ .

На конусе  $K$  неотрицательных в  $C(\Omega)$  функций введем в рассмотрение нелинейное операторное уравнение  $u = Tu$ , где  $Tu = \int_{\Omega} G(\mathbf{x}, \mathbf{s}) e^{-u(\mathbf{s})} d\mathbf{s}$ .

Используя методы теории нелинейных операторных уравнений в полуупорядоченных пространствах [2, 4], нами доказана следующая лемма.

*Лемма.* Оператор  $T$  обладает следующими свойствами:

1) оператор  $T$  антитонный на конусе  $K$ , то есть для всех  $u, v \in K$  таких, что  $u \leq v$ , выполнено  $Tu \geq Tv$ ;

2) существует конусный отрезок  $\langle v_0, u_0 \rangle$  такой, что

$$T \langle v_0, u_0 \rangle \subset \langle v_0, u_0 \rangle,$$

где  $v_0(\mathbf{x}) \equiv 0$ ,  $u_0(\mathbf{x}) = \int_{\Omega} G(\mathbf{x}, \mathbf{s}) ds$ ;

3) оператор  $T$  вполне непрерывен на  $K$ ;

4) оператор  $A$  псевдовогнутый на  $K(u_0)$ .

Для уравнения (3) с антитонным оператором  $T$  строим итерационный процесс по схеме

$$u^{(k+1)}(\mathbf{x}) = \int_{\Omega} G(\mathbf{x}, \mathbf{s}) e^{-u^{(k)}(\mathbf{s})} d\mathbf{s}, \quad k = 0, 1, 2, \dots \quad (4)$$

Взяв в качестве начального приближения  $u^{(0)}(\mathbf{x}) = 0$ , получим

$$u^{(1)}(\mathbf{x}) = \int_{\Omega} G(\mathbf{x}, \mathbf{s}) d\mathbf{s} = u_0(\mathbf{x}),$$

причем  $u^{(0)} \leq u^{(1)} = u_0$ .

Поскольку оператор  $T$  антитонный, то получим  $u^{(2)} = Tu^{(1)} \leq u^{(1)} = Tu^{(0)}$ , то есть  $u^{(2)} \leq u^{(1)}$ . Таким образом,  $u^{(0)} \leq u^{(2)} \leq u^{(1)}$ . Снова действуя оператором  $T$ , получим  $u^{(0)} \leq u^{(2)} \leq u^{(3)} \leq u^{(1)}$ . Продолжая этот процесс, получим

$$u^{(0)} \leq u^{(2)} \leq \dots \leq u^{(2k)} \leq \dots \leq u^* \leq \dots \leq u^{(2k+1)} \leq \dots \leq u^{(3)} \leq u^{(1)},$$

где  $u^* \in \langle v_0, u_0 \rangle$  – точное решение задачи (1), (2).

Итак, имеет место следующая теорема.

*Теорема.* Задача (1), (2) в  $C(\Omega)$  имеет единственное положительное решение, которое можно построить по схеме (4) с двусторонними приближениями, равномерно сходящимися к решению.

**3. Метод квазифункций Грина.** Знание функции Грина позволяет от нелинейной краевой задачи (1), (2) перейти к эквивалентному интегральному уравнению (3). Однако построение функции Грина в замкнутом виде возможно лишь для некоторых конкретных достаточно простых областей. Нами предлагается приближенный метод решения задачи (1), (2), основанный на использовании квазифункции Грина, которая строится с помощью конструктивного аппарата теории  $R$ -функций.

Пусть  $\omega(\mathbf{x}) = 0$  – нормализованное до первого порядка уравнение границы  $\partial\Omega$  области  $\Omega$ , т.е. функция  $\omega(\mathbf{x})$  удовлетворяет следующим условиям:

$$\text{а) } \omega(\mathbf{x}) > 0 \text{ в } \Omega; \quad \text{б) } \omega(\mathbf{x}) = 0 \text{ на } \partial\Omega; \quad \text{в) } \frac{\partial\omega}{\partial\mathbf{n}} = 1 \text{ на } \partial\Omega,$$

где  $\mathbf{n}$  – внутренняя к  $\partial\Omega$  нормаль.

Если граница  $\partial\Omega$  состоит из конечного числа кусочно-гладких кривых (без точек возврата), каждая из которых допускает аналитическое задание с помощью элементарной функции, то такая  $\omega(\mathbf{x})$  может быть построена практически для любой  $\Omega$  методом  $R$ -функций в виде элементарной функции [6].

Следуя [6], нами доказано, что решение задачи (1), (2), принадлежащее  $\overset{\circ}{W}_2^1(\Omega)$ , также является решением нелинейного интегрального уравнения

$$u(\mathbf{x}) = \int_{\Omega} G_{\text{кв.}}(\mathbf{x}, \xi) e^{-u(\xi)} d\xi + \int_{\Omega} u(\xi) K(\mathbf{x}, \xi) d\xi, \quad (5)$$

где

$$G_{\text{кв.}}(\mathbf{x}, \xi) = \frac{1}{2\pi} \left[ \ln \frac{1}{r} - q(\mathbf{x}, \xi) \right], \quad q(\mathbf{x}, \xi) = -\frac{1}{2} \ln [r^2 + 4\omega(\mathbf{x})\omega(\xi)],$$

$$r = |\mathbf{x} - \xi|, \quad K(\mathbf{x}, \xi) = -\frac{1}{2\pi} \Delta_{\xi} q(\mathbf{x}, \xi).$$

Применяя к интегральному уравнению (5) метод последовательных при-

ближений, сводим его к последовательности линейных интегральных уравнений

$$u^{(k)}(\mathbf{x}) - \int_{\Omega} u^{(k)}(\xi) K(\mathbf{x}, \xi) d\xi = \int_{\Omega} G_{\text{кв.}}(\mathbf{x}, \xi) e^{-u^{(k-1)}(\xi)} d\xi, \quad (6)$$

$k = 2, 3, \dots$ , где положили  $u^{(1)}(\mathbf{x}) \equiv 0$ .

Приближенное решение уравнения (6) на каждом шаге итерационного процесса предлагается находить методом Бубнова-Галеркина [3], что позволяет получить результат в аналитическом виде.

Приближенное решение каждого из уравнений (6) ищем в виде

$$u_n^{(k)}(\mathbf{x}) = \sum_{j=1}^n c_j^{(k)} \varphi_i(\mathbf{x}),$$

что приводит к следующей системе линейных алгебраических уравнений относительно  $c_j^{(k)}$ ,  $j = 1, 2, \dots, n$ ,  $k = 2, 3, \dots$ :

$$\begin{aligned} \sum_{i=1}^n c_j^{(2)} & \left[ \int_{\Omega} \varphi_i(\mathbf{x}) \varphi_j(\mathbf{x}) d\mathbf{x} - \iint_{\Omega \Omega} K(\mathbf{x}, \xi) \varphi_j(\xi) \varphi_i(\mathbf{x}) d\xi d\mathbf{x} \right] = \\ & = \iint_{\Omega \Omega} G_{\text{кв.}}(\mathbf{x}, \xi) \varphi_i(\mathbf{x}) d\xi d\mathbf{x}, \quad i = 1, 2, \dots, n; \\ \sum_{i=1}^n c_j^{(k)} & \left[ \int_{\Omega} \varphi_i(\mathbf{x}) \varphi_j(\mathbf{x}) d\mathbf{x} - \iint_{\Omega \Omega} K(\mathbf{x}, \xi) \varphi_j(\xi) \varphi_i(\mathbf{x}) d\xi d\mathbf{x} \right] = \\ & = \iint_{\Omega \Omega} G_{\text{кв.}}(\mathbf{x}, \xi) e^{-u_n^{(k-1)}(\xi)} \varphi_i(\mathbf{x}) d\xi d\mathbf{x}, \quad i = 1, 2, \dots, n, \quad k = 3, 4, \dots, \end{aligned}$$

где  $\{\varphi_i(\mathbf{x})\}$  – координатная последовательность.

**4. Результаты вычислительного эксперимента.** Вычислительный эксперимент в задаче (1), (2) был проведен для двух областей: круга радиуса  $R$  и прямоугольника со сторонами  $a$  и  $b$ .

Для случая, когда область  $\Omega$  представляет собой круг радиуса  $R$  функция Грина и квазифункция Грина задачи (1), (2) совпадают. Кроме того, для  $R=1$  известно (см. [5]) точное решение задачи из  $C(\Omega)$   $u^*(\mathbf{x}) = \ln(8k) - \ln(1 - k\rho^2)^2$ , где  $\rho = \sqrt{x_1^2 + x_2^2}$ ,  $k = 5 - 2\sqrt{6}$ .

В таблице 1 приведены значения  $u^{(2)}(\mathbf{x})$ ,  $u^{(3)}(\mathbf{x})$  и  $u^*(\mathbf{x})$  на луче  $\varphi = 0$  при различных значениях  $\rho$  ( $\rho$ ,  $\varphi$  – полярные координаты точки  $\mathbf{x} = (x_1, x_2)$ ).

Таблица 1

$\rho$	0	0,1	0,2	0,3	0,4	0,5	0,6	0,7	0,8	0,9
$u^{(3)}$	0,21392	0,21181	0,20570	0,19561	0,18121	0,16231	0,13956	0,11200	0,07961	0,04239
$u^*$	0,21299	0,21097	0,20489	0,19472	0,18040	0,16183	0,13890	0,11146	0,07931	0,04225
$u^{(2)}$	0,20777	0,20574	0,19988	0,19019	0,17633	0,15812	0,13614	0,10942	0,07790	0,04156

Как видно из таблицы 1, точное решение  $u^*(\mathbf{x})$  задачи (1), (2) на луче

$\varphi = 0$  заключено в «вилку», образованную функциями  $u^{(2)}(\mathbf{x})$  и  $u^{(3)}(\mathbf{x})$ . Норма разности между приближениями  $u^{(2)}(\mathbf{x})$  и  $u^{(3)}(\mathbf{x})$  составила

$$\|u^{(2)}(\mathbf{x}) - u^{(3)}(\mathbf{x})\|_{C(\Omega)} = 0,62 \cdot 10^{-2}.$$

На рис. 1 приведены поверхность и линии уровня приближения  $u^{(3)}(\mathbf{x})$ .

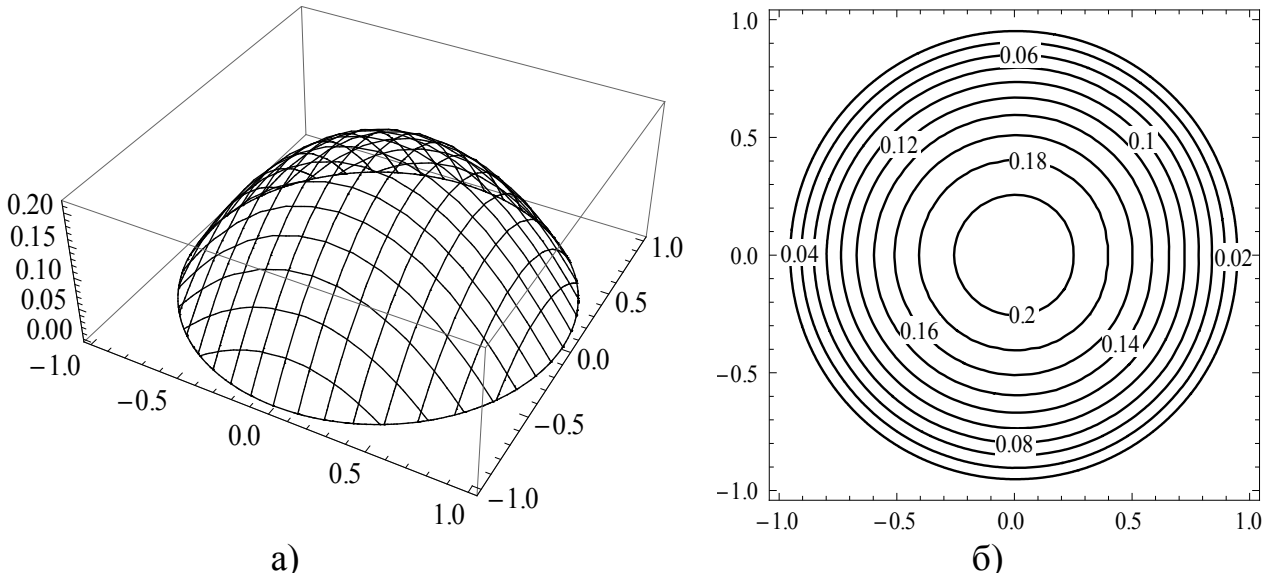


Рис. 1. Поверхность (а) и линии уровня (б) приближения  $u^{(3)}(\mathbf{x})$ .

Для случая, когда область  $\Omega$  представляет собой прямоугольник со сторонами  $a$  и  $b$ , функция Грина не совпадает с квазифункцией Грина и точное решение задачи (1), (2) неизвестно.

Вычисления были проведены для  $a = b = 1$ . В таблице 2 приведены значения  $u^{(2)}(\mathbf{x})$  и  $u^{(3)}(\mathbf{x})$ , построенных по схеме (4), при  $x_2 = \frac{1}{2}$  и различных  $x_1$ .

Норма разности между приближениями  $u^{(2)}(\mathbf{x})$  и  $u^{(3)}(\mathbf{x})$  составила

$$\|u^{(2)}(\mathbf{x}) - u^{(3)}(\mathbf{x})\|_{C(\Omega)} = 0,13 \cdot 10^{-3}.$$

В таблице 3 приведены значения  $u_{21}^{(4)}(\mathbf{x})$ , построенные по схеме (6), в тех же точках, что и в таблице 2. На рис. 2 приведены поверхность и линии уровня приближения  $u_{21}^{(4)}(\mathbf{x})$ .

Таблица 2

$x_1$	0,1	0,2	0,3	0,4	0,5	0,6	0,7	0,8	0,9
$u^{(3)}$	0,02800	0,04738	0,06043	0,06756	0,07004	0,06756	0,06043	0,04738	0,02800
$u^{(2)}$	0,02797	0,04731	0,06033	0,06744	0,06991	0,06744	0,06033	0,04731	0,02797

Таблица 3

$x_1$	0,1	0,2	0,3	0,4	0,5	0,6	0,7	0,8	0,9
$u_{21}^{(4)}$	0,02791	0,04756	0,06031	0,06751	0,06984	0,06751	0,06031	0,04755	0,02791

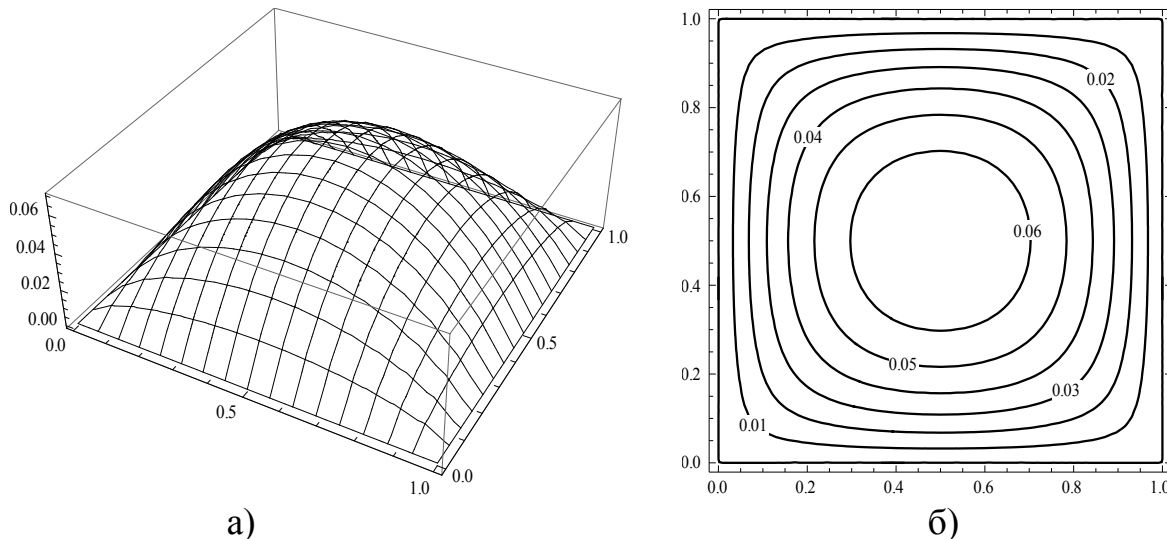


Рис. 2. Поверхность (а) и линии уровня (б) приближения  $u_{21}^{(4)}(\mathbf{x})$ .

Как видно, полученные двумя методами приближенные решения хорошо согласуются.

**5. Заключение.** В работе исследована возможность построения приближенных методов решения задачи (1), (2). Один из методов основан на использовании точной функции Грина, что позволяет получить двусторонние приближения к решению рассматриваемой задачи. Другой метод использует квазифункцию Грина, которая строится, используя конструктивный аппарат теории  $R$ -функций, что позволяет приближенно решить задачу (1), (2) в областях практически произвольной геометрии, для которых функция Грина либо неизвестна, либо сложна в построении. Предлагаемые методы могут быть использованы при решении прикладных задач, математическими моделями которых служат краевые задачи для нелинейных эллиптических уравнений.

#### Библиографический список

1. Беллман Р., Калаба Р. Квазилинеаризация и нелинейные краевые задачи. – М.: Мир, 1968. – 183 с.
2. Красносельский М.А. Положительные решения операторных уравнений. – М.: Физматгиз, 1962. – 394 с.
3. Михлин С.Г. Вариационные методы в математической физике. – М.: Наука, 1970. – 512 с.
4. Опойцев В.И. Обобщение теории монотонных и вогнутых операторов // Труды Моск. матем. общества. – Т. 36, 1978. – С. 237 – 273.
5. Полянин А.Д., Зайцев В.Ф. Справочник нелинейные уравнения математической физики: точные решения. – М.: ФИЗМАТЛИТ, 2002. – 432 с.
6. Рвачев В.Л. Теория  $R$ -функций и некоторые её приложения. – К.: Наук. думка, 1982. – 552 с.
7. Франк-Каменецкий Д.А. Основы макрокинетики. Диффузия и теплопередача в химической кинетике. – М.: Интеллект, 2008. – 408 с.